

Expérience de développement d'applications sur cluster de GPUs

Journée GPU
ONERA, Châtillon, France
12 janvier 2010

Stéphane Vialle

Stephane.Vialle@supelec.fr

SUPELEC équipe IMS & EPI AlGorille



Avec l'aide de L. Abbas-Turki, T. Jost , W. Kirshenmann, P. Mercier, S. Contassot-Vivier, L. Plagne

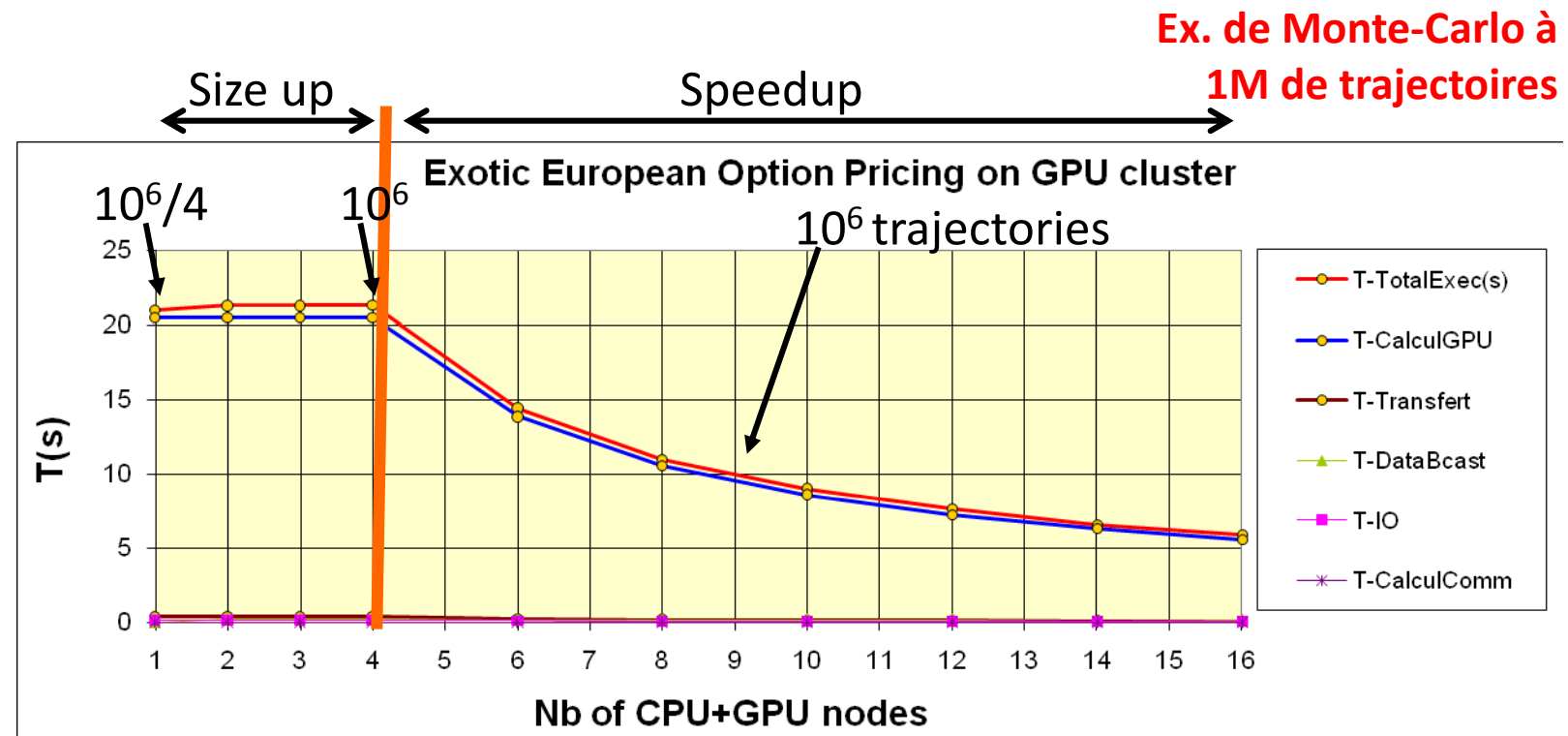
Plan

1. Principes de parallélisation sur cluster de CPU+GPU
2. Ex 1 : application distribuée *embarrassingly parallel*
3. Ex 2 : 1^{ère} application distribuée fortement couplée
4. Ex 3 : 2^{ème} application distribuée fortement couplée
5. Parallélisation simultanée sur CPUs et GPUs
6. Performances
7. Mesures et modélisation énergétiques
8. Conclusion

Principes de parallélisation sur cluster de CPU+GPU (1)

Un GPU permet d'aller plus vite mais possède une mémoire limitée (comparée à un CPU).

Nd GPU permettent d'aller encore plus vite (!) et de traiter un problème plus important :

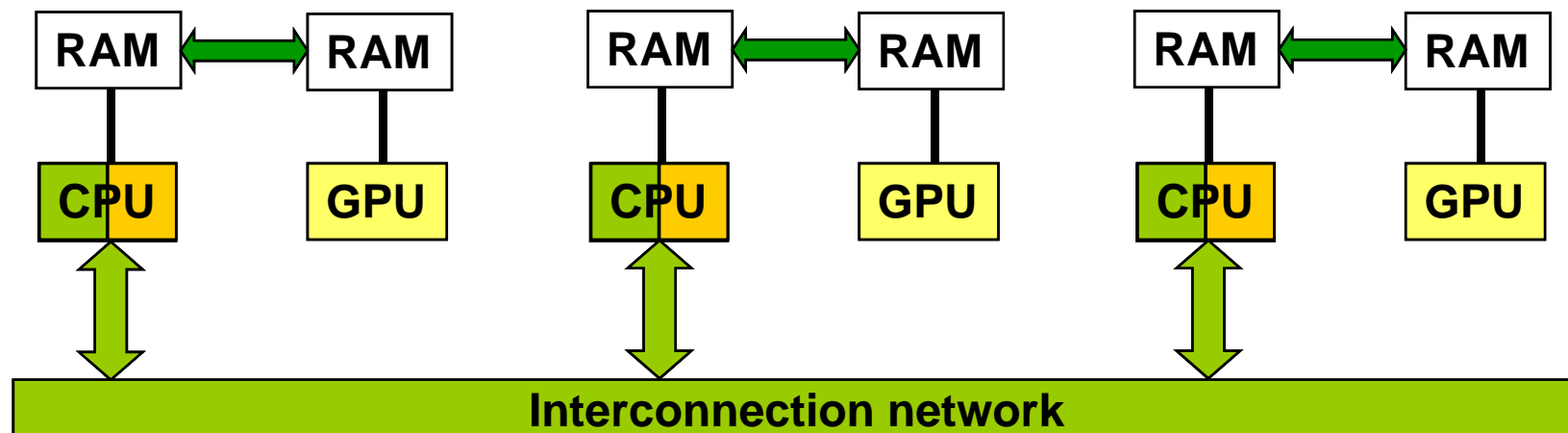


Principes de parallélisation sur cluster de CPU+GPU (2)

Un cluster de CPUs+GPUs est constitué :

- de CPUs multi-cœurs
- de GPUs (many-cœurs)
- d'un réseau d'interconnexion inter-nœuds
- de bus PCI-express pour les transferts entre CPU et GPU sur chaque nœud

Conceptuellement, tous ces composants peuvent fonctionner en parallèle...



Principes de parallélisation sur cluster de CPU+GPU (3)

Spécificités de la programmation des clusters de CPU+GPU :

- multi-grains :

gros grain + grain fin + grain moyen
(cluster) (GPU) (multi-cœurs CPU)

- multi-paradigms :

messages + threads GPU + threads CPU

- multi-outils de développement :

MPI + CUDA + OpenMP/IntelTBB/P-threads/...

... et donc :

- multi-bugs & multi-debugs
- multi-optimisations
- multi-surprises

Quelques difficultés algorithmiques

Cluster de CPUs – approche gros grain (processus et envois de messages)

1. Comment/où couper les calculs et les données ?
 2. Equilibrer la charge sur les nœuds
 3. Minimiser les communications
 4. Recouvrir les communications et les calculs
- + optimisations
sérielles

Cluster de CPUs – approche gros grain + grain moyen

5. Synchroniser les threads CPU pour l'accès aux données du nœud
6. Synchroniser les threads CPU avec les communications MPI
7. Eviter le *false sharing*

Cluster de GPUs – approche gros grain + grain fin

5. Minimiser les transferts CPU-GPU
6. Minimiser les accès à la RAM GPU globale – « réalisation du cache »
7. Réaliser des accès RAM globale « coalescent » (contigus et alignés)
8. Synchroniser les threads GPU
9. Synchroniser les threads GPU et les transferts CPU-GPU avec les communications MPI

Plan

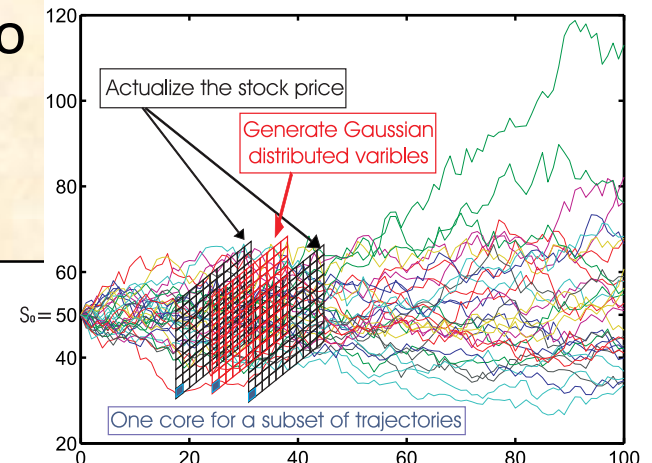
1. Principes de parallélisation sur cluster de CPU+GPU
2. Ex 1 : application distribuée *embarrassingly parallel*
3. Ex 2 : 1^{ère} application distribuée fortement couplée
4. Ex 3 : 2^{ème} application distribuée fortement couplée
5. Parallélisation simultanée sur CPUs et GPUs
6. Performances
7. Mesures et modélisation énergétiques
8. Conclusion

Ex 1 : application distribuée faiblement couplée

Objectifs :

Pricer d'options Européenne exotiques à grande vitesse (for hedging)

- calculant des trajectoires de Monte-Carlo
- utilisant un cluster de CPU multi-cœurs ou de GPU many-cœurs



Difficultés :

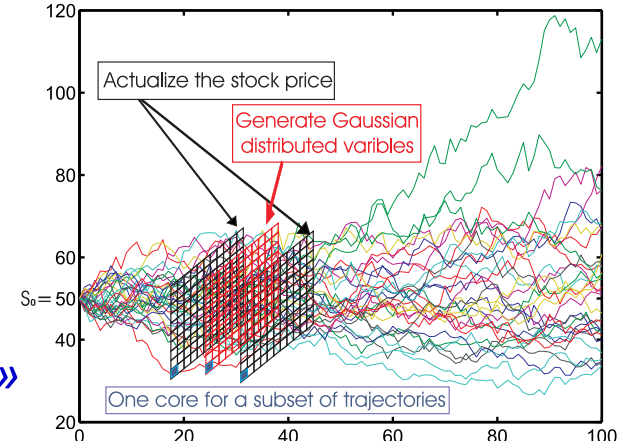
- Concevoir un algo parallèle gros-grain + grain moyen/grain fin
- Concevoir et implanter un générateur parallèle de nombres aléatoires **rigoureux et rapide**
- Evaluer les développements en termes de speedup, size up, précision, et consommation énergétique

Ex 1 : application distribuée faiblement couplée

Tirage des nombres aléatoires :

- « vite »
- de bonne qualité
- en parallèle
 - Risque de mauvaise qualité de la suite globale

« Ce n'est pas en faisant n'importe quoi que c'est aléatoire »



On génère des générateurs de nombres aléatoires en veillant :

- à ce qu'ils soient indépendants (génèrent des suites aléatoires différentes)
- à ce qu'ils puissent s'exécuter en parallèle (indépendamment les uns des autres)

On porte ces RNG sur GPUs :

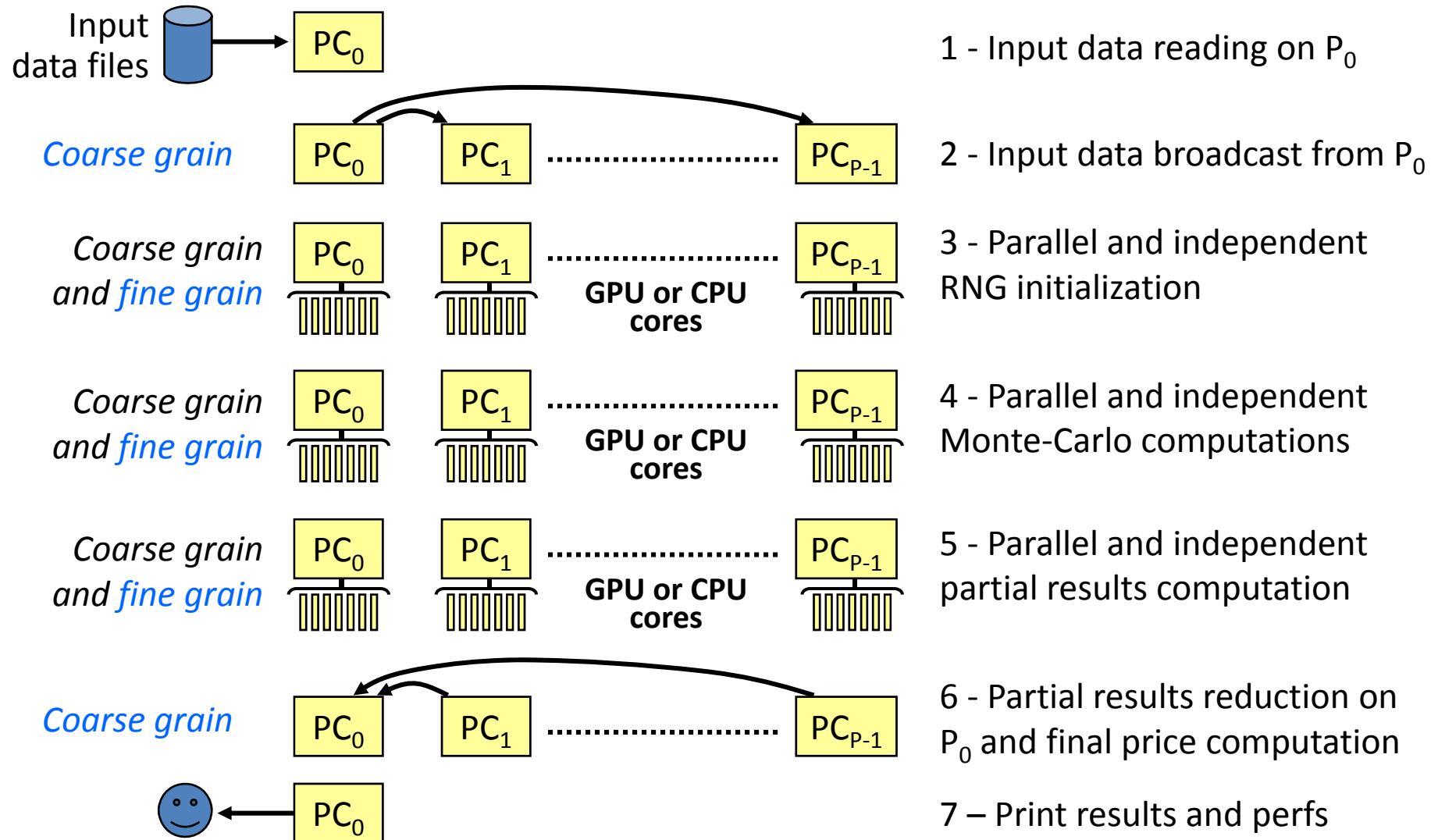
- pour rester sur le GPU pour tirer les nombres aléatoires
(éviter de tirer les nombres aléatoires sur le CPU quand on utilise un CPU)

On teste différents RNG :

- de « qualités » différentes
- plus ou moins rapides

Ex 1 : application distribuée faiblement couplée

Algorithme parallèle :



Ex 1 : application distribuée faiblement couplée

MPI+OpenMP : calculs sur un nœud CPU multi-cœurs du cluster

```
void ActStock(double sqrtdt)
{
    int StkIdx, yIdx, xIdx;          // Loop indexes
    #pragma omp parallel private(StkIdx,yIdx,xIdx)
    {
        for (StkIdx = 0; StkIdx < NbStocks; StkIdx++) {
            Parameters_t *parPt = &par[StkIdx];
            // Process each trajectory
            #pragma omp for
            for (yIdx = 0; yIdx < Ny; yIdx++)
                for (xIdx = 0; xIdx < Nx; xIdx++) {
                    float call;
                    // - First pass
                    call = .....;           // Calculs utilisant le RNG sur CPU
                    // - The passes that remain
                    for (int stock = 1; stock <= StkIdx ; stock++)
                        call = .....;       // Calculs utilisant le RNG sur CPU
                    // Copy result in the global GPU memory
                    TabStockCPU[StkIdx][yIdx][xIdx] = call;
                }
            }
        }
    }
```

Ex 1 : application distribuée faiblement couplée

MPI+CUDA : un thread GPU traite une trajectoire

```
__global__ void Actual_kernel(void)
{
    float call, callBis;
    // Computes the indexes and copy data into multipro sh. memory
    int xIdx = threadIdx.x + blockIdx.x*BlockSizeX;
    int yIdx = blockIdx.y;
    __shared__ float InputLine[Nx];
    __shared__ float BrownLine[Nx];
    InputLine[xIdx] = TabStockInputGPU[StkIdx][yIdx][xIdx];
    GaussLine[xIdx] = TabGaussGPU[0][yIdx][xIdx];

    // First pass
    call = .....;                                // Calculs utilisant le RNG sur GPU
    callBis = call;
    // The passes that remain
    for (int stock = 1; stock <= StkIdx; stock++) {
        GaussLine[xIdx] = TabGaussGPU[stock][yIdx][xIdx];
        call = callBis*.....;                      // Calculs utilisant le RNG sur GPU
        callBis = call;
    }
    // Copy result in the global GPU memory
    TabStockOutputGPU[StkIdx][yIdx][xIdx] = call;
}
```

Ex 1 : application distribuée faiblement couplée

MPI+CUDA : exécution des threads GPU (un par trajectoire)

```
void ActStock(double sqrtdt)
{
    // GPU thread management variables
    dim3 Dg, Db;

    // Set thread Grid and blocks features
    Dg.x = Nx/BlockSizeX; Dg.y = Ny; Dg.z = 1;
    Db.x = BlockSizeX; Db.y = 1; Db.z = 1;
    // Transfer a float version of the time increment on the GPU
    float sqrtdtCPU = (float) sqrtdt;
    cudaMemcpyToSymbol(sqrtdtGPU,&sqrtdtCPU,sizeof(float),0,
                      cudaMemcpyHostToDevice);

    // For each stock: transfer its index on the GPU and compute
    // its actualization (process all trajectories)
    for (int s = 0; s < NbStocks; s++) {
        cudaMemcpyToSymbol(StkIdx,&s,sizeof(int),0,
                          cudaMemcpyHostToDevice);
        Actual_kernel<<<Dg,Db>>>(); //Run the GPU computation
    }
}
```

Ex 1 : application distribuée faiblement couplée

MPI : routine principale

```
// MPI and appli inits
MPI_Init(&argc, &argv);
MPI_Comm_size(MPI_COMM_WORLD, &NbPE);
MPI_Comm_rank(MPI_COMM_WORLD, &Me);
ParseInit(argc, argv);
if (Me == 0) { InitStockParaCPU(); }
BroadcastInputData(); ←

// Application computations: use the multicore CPU ou GPU
PostInitData(Me, NbPE);
AsianSum(dt, 0);
for (jj = 1; jj <= N; jj++) {
    for (k = 0; k < NbStocks; k++) {
        ComputeUniformRandom();
        GaussPRNG(k);
    }
    ActStock(dt);
    AsianSum(dt, jj);
}
ComputeIntegralSum();
ComputePriceSum();
ComputePayoffSum(&sum, &sum2); // - Ponderated sum of the average values
                                // - Ponderated sum of the stock prices
CollectByReduction(&sum, &sum2, &TotalSum, &TotalSum2); // - Compute the sum and square sum of the payoff

// - Final computations on PE-0
if (Me == 0) { ComputeFinalValues(&price, &error, TotalSum, TotalSum2, r, NbPE); }

MPI_Finalize();
```

Pas d'impact d'OpenMP
Pas d'impact de CUDA

Synchronisation légère des process
MPI et des threads de calcul (CPU ou GPU)

// - time step loop
// - stock loop
// + generation of uniform random numbers
// + turn uniform random nb to Gaussian random nb

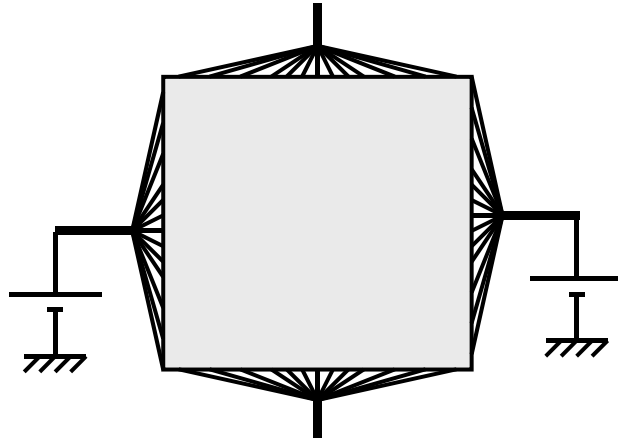
// - compute the next stock value
// - compute the "average value of the stock" on each trajectory

// - Ponderated sum of the average values
// - Ponderated sum of the stock prices
// - Compute the sum and square sum of the payoff

Plan

1. Principes de parallélisation sur cluster de CPU+GPU
2. Ex 1 : application distribuée *embarrassingly parallel*
- 3. Ex 2 : 1^{ère} application distribuée fortement couplée**
4. Ex 3 : 2^{ème} application distribuée fortement couplée
5. Parallélisation simultanée sur CPUs et GPUs
6. Performances
7. Mesures et modélisation énergétiques
8. Conclusion

Ex 2 : application distribuée fortement couplée

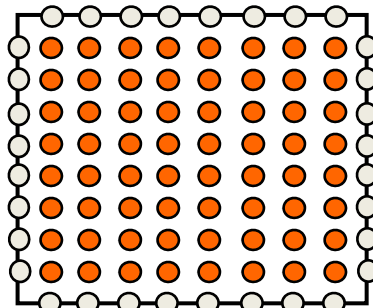


Calcul des lignes de potentiel dans une plaque diélectrique :

$$\frac{\partial^2 V}{\partial x^2} + \frac{\partial^2 V}{\partial y^2} = 0$$



- Discrétisation et équation aux différences
- Itération jusqu'à la convergence ($V^{n+1}_{i,j} - V^n_{i,j} < \varepsilon$)



- Condition aux limites : V fixé

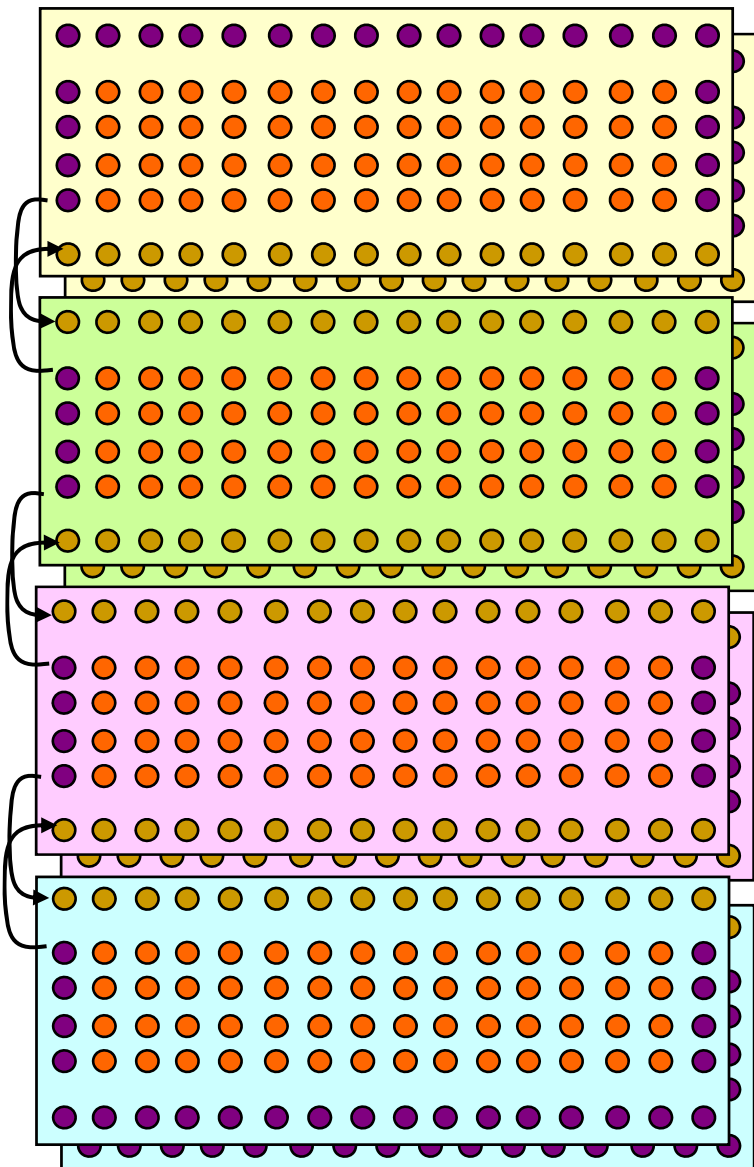
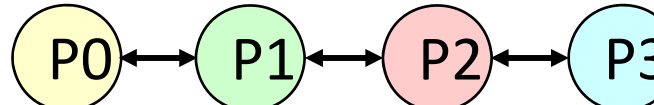
$$V^{n+1}_{i,j} = \frac{V^n_{i-1,j} + V^n_{i+1,j} + V^n_{i,j-1} + V^n_{i,j+1}}{4}$$

Ex 2 : application distribuée fortement couplée

Parallélisation sur cluster par envoi de messages entre les nœuds de calcul :

- Partitionnement spatial des données et échange des frontières
- 2 extraits de tables (V^n et V^{n+1}) dans chaque mémoire locale + les frontières
- Parallélisation de la boucle sur les lignes de la grille

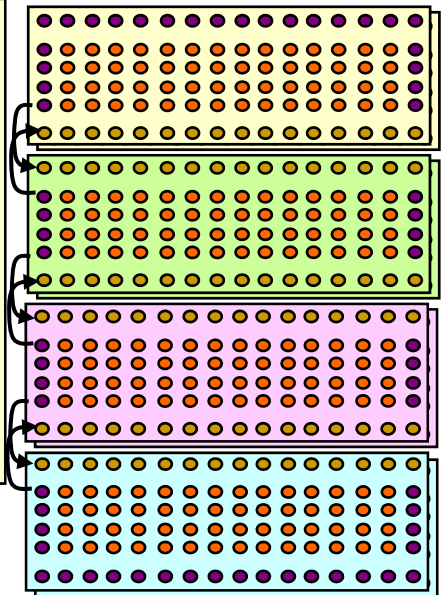
Ex : avec une ligne de 4 nœuds



Ex 2 : application distribuée fortement couplée

Algorithme exécuté sur chaque proc. :

```
for (cycle = 0; cycle < NbCycle; cycle++) {  
    calcul_local();  
    //barriere();  
    echange_frontieres(); // Avec synchronisation  
                          // sur les comms.  
    //barriere();  
    permutation_indices_des_tables_Vn_et_Vnplus1();  
}
```



`Calcul_local()` :

- Nœud CPU mono-cœur : un process MPI
- Nœud CPU multi-cœurs : un process MPI + des threads OpenMP
- Nœud CPU+GPU : un process MPI + des threads GPU (+ des threads CPU pour les comms. asynchrones)

Ex. simple de code MPI+OpenMP (relax.)

Une ligne de nœuds de calculs pour exécuter une relaxation de Jacobi

Implantation en MPI+OpenMP sur CPUs multi-cœurs.

Implantation en MPI+CUDA sur GPUs

Impact d'OpenMP sur le code MPI ?

Impact de CUDA sur le code MPI ?

Ex. simple de code MPI+OpenMP (relax.)

MPI+OpenMP : calculs sur un nœud CPU multi-cœurs du cluster

```
#pragma omp parallel private(cycle,i,j,OI,NI)
{
    OI = 0;
    NI = 1;

    for (cycle = 0; cycle < NbCycles; cycle++) {
        #pragma omp for
        for (i = 1; i <= USEFUL_SIDE_ROW; ++i) {          // - local grid computation
            for (j = 1; j <= USEFUL_SIDE_COL; ++j) {
                CPU_V[NI][i][j] = (CPU_V[OI][i-1][j] + CPU_V[OI][i+1][j] +
                                      CPU_V[OI][i][j-1] + CPU_V[OI][i][j+1]) / 4.0;
            }
        }

        #pragma omp single
        {
            (*cpuCommFctPt)(NI,cycle);                      // - MPI comms.
        }

        OI = NI;
        NI = 1-NI;
    }
}
```

Coordination des
threads OpenMP
et des comms. MPI

Ex. simple de code MPI+OpenMP (relax.)

MPI+OpenMP : Echange de frontières sur un anneau de CPU – v1-synchrone

```
if (Me == 0) {  
    MPI_Sendrecv(&CPU_V[idx][SIDE_ROW-2][0], SIDE_COL, MPI_FLOAT, Me+1, tag,  
                &CPU_V[idx][SIDE_ROW-1][0], SIDE_COL, MPI_FLOAT, Me+1, tag,  
                MPI_COMM_WORLD, &status);  
} else if (Me == NbPr - 1) {  
    MPI_Sendrecv(&CPU_V[idx][1][0], SIDE_COL, MPI_FLOAT, Me-1, tag,  
                &CPU_V[idx][0][0], SIDE_COL, MPI_FLOAT, Me-1, tag,  
                MPI_COMM_WORLD, &status);  
} else if (Me % 2 == 0) {  
    MPI_Sendrecv(&CPU_V[idx][SIDE_ROW-2][0], SIDE_COL, MPI_FLOAT, Me+1, tag,  
                &CPU_V[idx][SIDE_ROW-1][0], SIDE_COL, MPI_FLOAT, Me+1, tag,  
                MPI_COMM_WORLD, &status);  
    MPI_Sendrecv(&CPU_V[idx][1][0], SIDE_COL, MPI_FLOAT, Me-1, tag,  
                &CPU_V[idx][0][0], SIDE_COL, MPI_FLOAT, Me-1, tag,  
                MPI_COMM_WORLD, &status);  
} else if (Me % 2 == 1) {  
    MPI_Sendrecv(&CPU_V[idx][1][0], SIDE_COL, MPI_FLOAT, Me-1, tag,  
                &CPU_V[idx][0][0], SIDE_COL, MPI_FLOAT, Me-1, tag,  
                MPI_COMM_WORLD, &status);  
    MPI_Sendrecv(&CPU_V[idx][SIDE_ROW-2][0], SIDE_COL, MPI_FLOAT, Me+1, tag,  
                &CPU_V[idx][SIDE_ROW-1][0], SIDE_COL, MPI_FLOAT, Me+1, tag,  
                MPI_COMM_WORLD, &status);  
}  
}
```

Pas d'impact d'OpenMP

Ex. simple de code MPI+OpenMP (relax.)

MPI+OpenMP : Echange de frontières sur un anneau de CPU – v2-asynchrone

```
if (Me == 0) {  
    MPI_Irecv(&CPU_V[idx][SIDE_ROW-1][0], SIDE_COL, MPI_FLOAT, Me+1, tag,  
              MPI_COMM_WORLD, &RecvRequest[idx][1]);  
    MPI_Issend(&CPU_V[idx][SIDE_ROW-2][0], SIDE_COL, MPI_FLOAT, Me+1, tag,  
               MPI_COMM_WORLD, &SendRequest[idx][1]);  
    MPI_Wait(&RecvRequest[idx][1], &RecvStatus[1]);  
    MPI_Wait(&SendRequest[idx][1], &SendStatus[1]);  
} else if (Me == NbPr - 1) {  
    MPI_Irecv(&CPU_V[idx][0][0], SIDE_COL, MPI_FLOAT, Me-1, tag,  
              MPI_COMM_WORLD, &RecvRequest[idx][0]);  
    MPI_Issend(&CPU_V[idx][1][0], SIDE_COL, MPI_FLOAT, Me-1, tag,  
               MPI_COMM_WORLD, &SendRequest[idx][0]);  
    MPI_Wait(&RecvRequest[idx][0], &RecvStatus[0]);  
    MPI_Wait(&SendRequest[idx][0], &SendStatus[0]);  
} else {  
    MPI_Irecv(&CPU_V[idx][0][0], SIDE_COL, MPI_FLOAT, Me-1, tag,  
              MPI_COMM_WORLD, &RecvRequest[idx][0]);  
    MPI_Irecv(&CPU_V[idx][SIDE_ROW-1][0], SIDE_COL, MPI_FLOAT, Me+1, tag,  
              MPI_COMM_WORLD, &RecvRequest[idx][1]);  
    MPI_Issend(&CPU_V[idx][1][0], SIDE_COL, MPI_FLOAT, Me-1, tag,  
               MPI_COMM_WORLD, &SendRequest[idx][0]);  
    MPI_Issend(&CPU_V[idx][SIDE_ROW-2][0], SIDE_COL, MPI_FLOAT, Me+1, tag,  
               MPI_COMM_WORLD, &SendRequest[idx][1]);  
    MPI_Waitall(2, RecvRequest[idx], RecvStatus);  
    MPI_Waitall(2, SendRequest[idx], SendStatus);  
}
```

Pas d'impact d'OpenMP

Ex. simple de code MPI+OpenMP (relax.)

MPI+OpenMP : Echange de frontières sur un anneau de CPU – v3-async-pers.

```
if (Me == 0) {  
    for (int idx = 0; idx < 2; idx++) {  
        MPI_Ssend_init(&CPU_V[idx][SIDE_ROW-2][0], SIDE_COL, MPI_FLOAT, Me+1, 0,  
                        MPI_COMM_WORLD, &SendRequest[idx][1]);  
        MPI_Recv_init(&CPU_V[idx][SIDE_ROW-1][0], SIDE_COL, MPI_FLOAT, Me+1, 0,  
                        MPI_COMM_WORLD, &RecvRequest[idx][1]);  
    }  
}  
} else if (Me == NbPr-1) {  
    for (int idx = 0; idx < 2; idx++) {  
        MPI_Ssend_init(&CPU_V[idx][1][0], SIDE_COL, MPI_FLOAT, Me-1, 0,  
                        MPI_COMM_WORLD, &SendRequest[idx][0]);  
        MPI_Recv_init(&CPU_V[idx][0][0], SIDE_COL, MPI_FLOAT, Me-1, 0,  
                        MPI_COMM_WORLD, &RecvRequest[idx][0]);  
    }  
}  
} else {  
    for (int idx = 0; idx < 2; idx++) {  
        MPI_Ssend_init(&CPU_V[idx][1][0], SIDE_COL, MPI_FLOAT, Me-1, 0,  
                        MPI_COMM_WORLD, &SendRequest[idx][0]);  
        MPI_Ssend_init(&CPU_V[idx][SIDE_ROW-2][0], SIDE_COL, MPI_FLOAT, Me+1, 0,  
                        MPI_COMM_WORLD, &SendRequest[idx][1]);  
        MPI_Recv_init(&CPU_V[idx][0][0], SIDE_COL, MPI_FLOAT, Me-1, 0,  
                        MPI_COMM_WORLD, &RecvRequest[idx][0]);  
        MPI_Recv_init(&CPU_V[idx][SIDE_ROW-1][0], SIDE_COL, MPI_FLOAT, Me+1, 0,  
                        MPI_COMM_WORLD, &RecvRequest[idx][1]);  
    }  
}
```

1/3

Initialisation des schémas de communications persistants

Ex. simple de code MPI+OpenMP (relax.)

MPI+OpenMP : Echange de frontières sur un anneau de CPU – v3-async-pers.

```
if (Me == 0) {  
    MPI_Start(&RecvRequest[idx][1]);  
    MPI_Start(&SendRequest[idx][1]);  
    MPI_Wait(&RecvRequest[idx][1],&RecvStatus[1]);  
    MPI_Wait(&SendRequest[idx][1],&SendStatus[1]);  
}  
else if (Me == NbPr - 1) {  
    MPI_Start(&RecvRequest[idx][0]);  
    MPI_Start(&SendRequest[idx][0]);  
    MPI_Wait(&RecvRequest[idx][0],&RecvStatus[0]);  
    MPI_Wait(&SendRequest[idx][0],&SendStatus[0]);  
}  
else {  
    MPI_Start(&RecvRequest[idx][0]);  
    MPI_Start(&RecvRequest[idx][1]);  
    MPI_Start(&SendRequest[idx][0]);  
    MPI_Start(&SendRequest[idx][1]);  
    MPI_Waitall(2,RecvRequest[idx],RecvStatus);  
    MPI_Waitall(2,SendRequest[idx],SendStatus);  
}
```

2/3

Exploitation des schémas de communications persistants

Ex. simple de code MPI+OpenMP (relax.)

MPI+OpenMP : Echange de frontières sur un anneau de CPU – v3-async-pers.

```
if (Me == 0) {  
    for (int idx = 0; idx < 2; idx++) {  
        MPI_Request_free(&SendRequest[idx][1]);  
        MPI_Request_free(&RecvRequest[idx][1]);  
    }  
}  
} else if (Me == NbPr-1) {  
    for (int idx = 0; idx < 2; idx++) {  
        MPI_Request_free(&SendRequest[idx][0]);  
        MPI_Request_free(&RecvRequest[idx][0]);  
    }  
}  
} else {  
    for (int idx = 0; idx < 2; idx++) {  
        MPI_Request_free(&SendRequest[idx][0]);  
        MPI_Request_free(&RecvRequest[idx][0]);  
        MPI_Request_free(&SendRequest[idx][1]);  
        MPI_Request_free(&RecvRequest[idx][1]);  
    }  
}
```

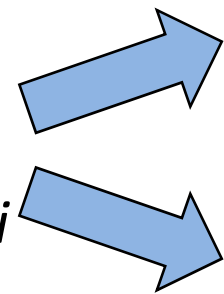
3/3

Libération des schémas de communications persistants

Pas d'impact d'OpenMP

Ex. simple de code MPI+OpenMP (relax.)

Une ligne de nœuds de calculs pour exécuter une relaxation de Jacobi



Implantation en MPI+OpenMP
sur CPUs multi-cœurs.

**Implantation en MPI+CUDA
sur GPUs**

Impact d'OpenMP sur le code MPI ?

Impact de CUDA sur le code MPI ?

Ex. simple de code MPI+CUDA (relax.)

MPI+CUDA : calculs sur un nœud GPU

```
__global__ void GPUKernel_RelaxStepV2(int OI, int NI)      // This is a CUDA "kernel"    1/3
{
    int block_row, global_row;
    int block_col, global_col;
    float result;
    __shared__ float V[BLOCK_SIZE_Y][BLOCK_SIZE_X];

    // Compute the line and row processed by the thread
    block_row = threadIdx.y;
    global_row = block_row + blockIdx.y*BLOCK_SIZE_Y;
    block_col = threadIdx.x;
    global_col = block_col + blockIdx.x*BLOCK_SIZE_X;

    // If the associated grid element does not exist: end of the computation
    if (global_row >= SIDE_ROW || global_col >= SIDE_COL) {
        __syncthreads();

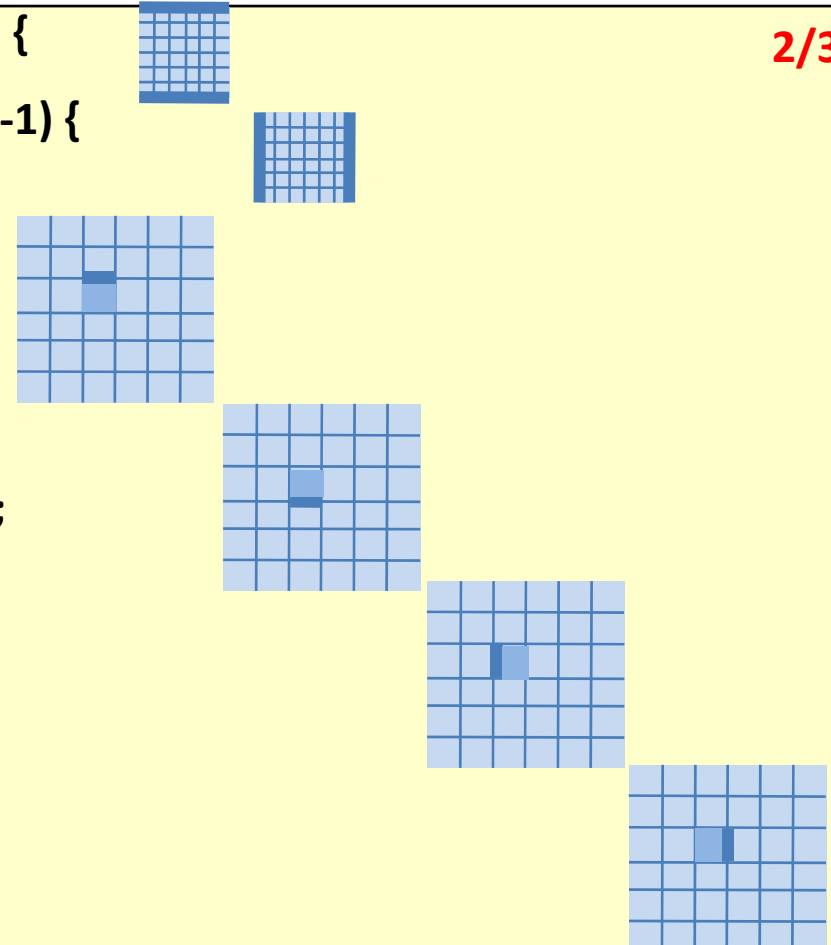
        // Get the value into the shared memory of the block and synchronize
    } else {
        V[block_row][block_col] = GPU_V[OI][global_row][global_col];
        __syncthreads();
    }
}
```

// Next -->

Ex. simple de code MPI+CUDA (relax.)

MPI+CUDA : calculs sur un nœud GPU

```
if (global_row == 0 || global_row == SIDE_ROW-1) {  
    result = V[block_row][block_col];  
} else if (global_col == 0 || global_col == SIDE_COL-1) {  
    result = V[block_row][block_col];  
} else {  
    float up, bottom, left, right;  
    if (block_row == 0)  
        up = GPU_V[0][global_row-1][global_col];  
    else  
        up = V[block_row-1][block_col];  
    if (block_row == BLOCK_SIZE_Y-1)  
        bottom = GPU_V[0][global_row+1][global_col];  
    else  
        bottom = V[block_row+1][block_col];  
    if (block_col == 0)  
        left = GPU_V[0][global_row][global_col-1];  
    else  
        left = V[block_row][block_col-1];  
    if (block_col == BLOCK_SIZE_X-1)  
        right = GPU_V[0][global_row][global_col+1];  
    else  
        right = V[block_row][block_col+1];  
    result = up + bottom + left + right;  
    result /= 4.0;  
}  
GPU_V[0][global_row][global_col] = result;  
}
```



2/3

Ex. simple de code MPI+CUDA (relax.)

MPI+CUDA : Exécution du *kernel*

```
int cycle;                                // Cycle counter.  
dim3 Dg, Db;                             // Grid and Block configurations  
  
// Set the grid and block configurations for the run of a kernel, and run the kernel.  
Db.x = BLOCK_SIZE_X;  
Db.y = BLOCK_SIZE_Y;  
Db.z = 1;  
  
Dg.x = SIDE_COL/BLOCK_SIZE_X;  
if (SIDE_COL % BLOCK_SIZE_X != 0)  
    Dg.x++;  
Dg.y = SIDE_ROW/BLOCK_SIZE_Y;  
if (SIDE_ROW % BLOCK_SIZE_Y != 0)  
    Dg.y++;  
Dg.z = 1;  
  
for (cycle = 0; cycle < NbCycles; cycle++) {  
    GPUKernel_RelaxStepV2<<< Dg,Db >>>(cycle%2,(cycle+1)%2); // - GPU computations  
    (*gpuCommFctPt)((cycle+1)%2,cycle);                                // - MPI comms.  
}
```

Début de coordination threads-CUDA / comm-MPI

Ex. simple de code MPI+CUDA (relax.)

MPI+CUDA : Echange de frontières sur un anneau de GPU – v1- synchrone

```
if (Me == 0) {
```

1/3

```
...  
} else if (Me == NbPr - 1) {
```

```
...  
} else if (Me % 2 == 0) {
```

Transferts données GPU → buffers CPU.
quand les execs. de kernels sont finies.

```
    cudaMemcpyFromSymbol(&BuffLineMinSend[0], GPU_V, sizeof(float)*(SIDE_COL),  
                        (idx*(GPU_PADDED_SIDE(SIDE_COL)))*(SIDE_ROW) +  
                        (GPU_PADDED_SIDE(SIDE_COL))*(1))*sizeof(float),  
                        cudaMemcpyDeviceToHost);
```

```
    cudaMemcpyFromSymbol(&BuffLineMaxSend[0], GPU_V, sizeof(float)*(SIDE_COL),  
                        (idx*(GPU_PADDED_SIDE(SIDE_COL)))*(SIDE_ROW) +  
                        (GPU_PADDED_SIDE(SIDE_COL))*(SIDE_ROW-2))*sizeof(float),  
                        cudaMemcpyDeviceToHost);
```

```
    MPI_Sendrecv(&BuffLineMaxSend[0], SIDE_COL, MPI_FLOAT, Me+1, tag,  
                &BuffLineMaxRecv[0], SIDE_COL, MPI_FLOAT, Me+1, tag,  
                MPI_COMM_WORLD, &status);
```

```
    MPI_Sendrecv(&BuffLineMinSend[0], SIDE_COL, MPI_FLOAT, Me-1, tag,  
                &BuffLineMinRecv[0], SIDE_COL, MPI_FLOAT, Me-1, tag,  
                MPI_COMM_WORLD, &status);
```

```
    cudaMemcpyToSymbol(GPU_V, &BuffLineMinRecv[0], sizeof(float)*(SIDE_COL),  
                      (idx*(GPU_PADDED_SIDE(SIDE_COL)))*(SIDE_ROW) +  
                      (GPU_PADDED_SIDE(SIDE_COL))*(0))*sizeof(float),  
                      cudaMemcpyHostToDevice);
```

```
    cudaMemcpyToSymbol(GPU_V, &BuffLineMaxRecv[0], sizeof(float)*(SIDE_COL),  
                      (idx*(GPU_PADDED_SIDE(SIDE_COL)))*(SIDE_ROW) +  
                      (GPU_PADDED_SIDE(SIDE_COL))*(SIDE_ROW-1))*sizeof(float),  
                      cudaMemcpyHostToDevice);
```

```
} else if (Me % 2 == 1) {
```

On transfère des
buffers de frontières
alloués sur le CPU.

Transferts buffers CPU → données GPU.
quand les communications sont finies.

```
...  
}
```

→ Impact de CUDA (oui!)

Ex. simple de code MPI+CUDA (relax.)

MPI+CUDA : Echange de frontières sur un anneau de GPU – v2- asynchrone

```
if (Me == 0) {  
    ...  
} else if (Me == NbPr - 1) {  
    ...  
} else {  
    MPI_Irecv(&BuffLineMinRecv[0],SIDE_COL,MPI_FLOAT,Me-1,tag,  
              MPI_COMM_WORLD,&RecvRequest[0]);  
    MPI_Irecv(&BuffLineMaxRecv[0],SIDE_COL,MPI_FLOAT,Me+1,tag,  
              MPI_COMM_WORLD,&RecvRequest[1]);  
    cudaMemcpyFromSymbol(&BuffLineMinSend[0],GPU_V,sizeof(float)*(SIDE_COL),  
                        (idx*(GPU_PADDED_SIDE(SIDE_COL))*(SIDE_ROW) +  
                         (GPU_PADDED_SIDE(SIDE_COL))*(1))*sizeof(float),  
                        cudaMemcpyDeviceToHost);  
    cudaMemcpyFromSymbol(&BuffLineMaxSend[0],GPU_V,sizeof(float)*(SIDE_COL),  
                        (idx*(GPU_PADDED_SIDE(SIDE_COL))*(SIDE_ROW) +  
                         (GPU_PADDED_SIDE(SIDE_COL))*(SIDE_ROW-2))*sizeof(float),  
                        cudaMemcpyDeviceToHost);  
    MPI_Isend(&BuffLineMinSend[0],SIDE_COL,MPI_FLOAT,Me-1,tag,  
              MPI_COMM_WORLD,&SendRequest[0]);  
    MPI_Isend(&BuffLineMaxSend[0],SIDE_COL,MPI_FLOAT,Me+1,tag,  
              MPI_COMM_WORLD,&SendRequest[1]);  
    MPI_Waitall(2,RecvRequest,RecvStatus);  
    cudaMemcpyToSymbol(GPU_V,&BuffLineMinRecv[0],sizeof(float)*(SIDE_COL),  
                      (idx*(GPU_PADDED_SIDE(SIDE_COL))*(SIDE_ROW) +  
                       (GPU_PADDED_SIDE(SIDE_COL))*(0))*sizeof(float),  
                      cudaMemcpyHostToDevice);  
    cudaMemcpyToSymbol(GPU_V,&BuffLineMaxRecv[0],sizeof(float)*(SIDE_COL),  
                      (idx*(GPU_PADDED_SIDE(SIDE_COL))*(SIDE_ROW) +  
                       (GPU_PADDED_SIDE(SIDE_COL))*(SIDE_ROW-1))*sizeof(float),  
                      cudaMemcpyHostToDevice);  
    MPI_Waitall(2,SendRequest,SendStatus);  
}
```

1/3

On reçoit dans des buffers de frontières alloués sur le CPU.
On envoie des buffers de frontières alloués sur le CPU.
Attente données reçues buffers CPU → données GPU.
quand execs. kernels finies.

On envoie des buffers de frontières alloués sur le CPU.

Attente données envoyées (pas optimal)
→ Impact de CUDA (oui!)

Ex. simple de code MPI+CUDA (relax.)

MPI+CUDA : Echange de frontières sur un anneau de GPU – v3-async-pers.

```
if (Me == 0) {  
    MPI_Ssend_init(&BuffLineMaxSend[0],SIDE_COL,MPI_FLOAT,Me+1,0,  
                  MPI_COMM_WORLD,&SendRequest[1]);  
    MPI_Recv_init(&BuffLineMaxRecv[0],SIDE_COL,MPI_FLOAT,Me+1,0,  
                  MPI_COMM_WORLD,&RecvRequest[1]);  
} else if (Me == NbPr-1) {  
    MPI_Ssend_init(&BuffLineMinSend[0],SIDE_COL,MPI_FLOAT,Me-1,0,  
                  MPI_COMM_WORLD,&SendRequest[0]);  
    MPI_Recv_init(&BuffLineMinRecv[0],SIDE_COL,MPI_FLOAT,Me-1,0,  
                  MPI_COMM_WORLD,&RecvRequest[0]);  
} else {  
    MPI_Ssend_init(&BuffLineMinSend[0],SIDE_COL,MPI_FLOAT,Me-1,0,  
                  MPI_COMM_WORLD,&SendRequest[0]);  
    MPI_Ssend_init(&BuffLineMaxSend[0],SIDE_COL,MPI_FLOAT,Me+1,0,  
                  MPI_COMM_WORLD,&SendRequest[1]);  
    MPI_Recv_init(&BuffLineMinRecv[0],SIDE_COL,MPI_FLOAT,Me-1,0,  
                  MPI_COMM_WORLD,&RecvRequest[0]);  
    MPI_Recv_init(&BuffLineMaxRecv[0],SIDE_COL,MPI_FLOAT,Me+1,0,  
                  MPI_COMM_WORLD,&RecvRequest[1]);  
}
```

1/3

Initialisation des schémas de communications persistants

On planifie des transferts de « buffers de frontières » alloués sur le CPU

→ Impact de CUDA

Ex. simple de code MPI+CUDA (relax.)

MPI+CUDA : Echange de frontières sur un anneau de GPU – v3-async-pers.

```
if (Me == 0) {  
    ...  
} else if (Me == NbPr - 1) {  
    ...  
} else {  
    MPI_Start(&RecvRequest[0]);  
    MPI_Start(&RecvRequest[1]);  
    cudaMemcpyFromSymbol(&BuffLineMinSend[0],GPU_V,  
                        sizeof(float)*(SIDE_COL),  
                        (idx*(GPU_PADDED_SIDE(SIDE_COL))*(SIDE_ROW) +  
                         (GPU_PADDED_SIDE(SIDE_COL))*(1))*sizeof(float),  
                        cudaMemcpyDeviceToHost);  
    cudaMemcpyFromSymbol(&BuffLineMaxSend[0],GPU_V,  
                        sizeof(float)*(SIDE_COL),  
                        (idx*(GPU_PADDED_SIDE(SIDE_COL))*(SIDE_ROW) +  
                         (GPU_PADDED_SIDE(SIDE_COL))*(SIDE_ROW-2))*sizeof(float),  
                        cudaMemcpyDeviceToHost);  
    MPI_Start(&SendRequest[0]);  
    MPI_Start(&SendRequest[1]);  
    MPI_Waitall(2,RecvRequest,RecvStatus);  
    cudaMemcpyToSymbol(...);  
    cudaMemcpyToSymbol(...);  
    MPI_Waitall(2,SendRequest,SendStatus);  
}  
2/3
```

Exploitation des schémas de communications persistants

Transferts données GPU → buffers CPU.
quand les execs. de *kernels* sont finies.

Transferts buffers CPU → données GPU.
quand les comms. sont finies.

→ Impact de CUDA (oui!)

Ex. simple de code MPI+CUDA (relax.)

MPI+CUDA : Echange de frontières sur un anneau de GPU – v3-async-pers.

```
if (Me == 0) {  
    MPI_Request_free(&SendRequest[1]);  
    MPI_Request_free(&RecvRequest[1]);  
} else if (Me == NbPr-1) {  
    MPI_Request_free(&SendRequest[0]);  
    MPI_Request_free(&RecvRequest[0]);  
} else {  
    MPI_Request_free(&SendRequest[0]);  
    MPI_Request_free(&RecvRequest[0]);  
    MPI_Request_free(&SendRequest[1]);  
    MPI_Request_free(&RecvRequest[1]);  
}
```

3/3

Libération des schémas de communications persistants

Plan

1. Principes de parallélisation sur cluster de CPU+GPU
2. Ex 1 : application distribuée *embarrassingly parallel*
3. Ex 2 : 1^{ère} application distribuée fortement couplée
4. Ex 3 : 2^{ème} application distribuée fortement couplée
5. Parallélisation simultanée sur CPUs et GPUs
6. Performances
7. Mesures et modélisation énergétiques
8. Conclusion

Ex 3 : application distribuée fortement couplée

Transport 3D d'espèces chimiques dans un cours d'eau : résolution d'un système d'EDP (advection, diffusion, réaction)

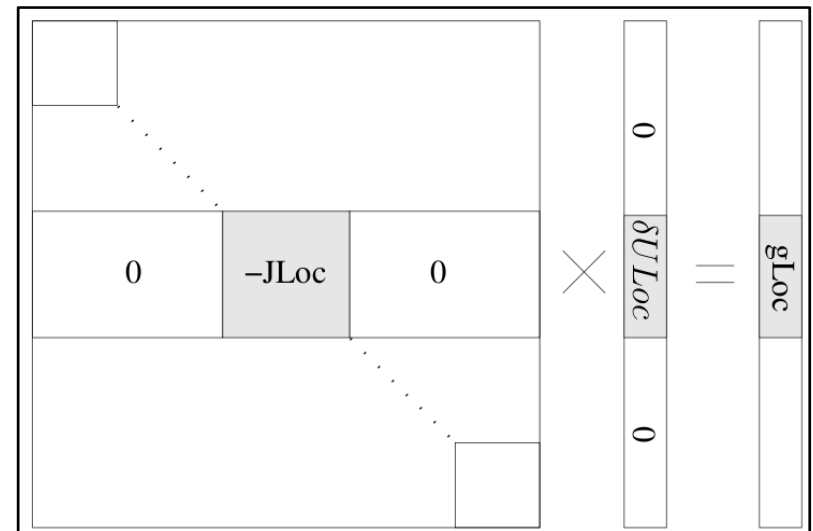
- Résolution :

système discréteisé, linéarisé → un gros système linéaire « $J.\delta U = g$ » à résoudre à chaque pas de temps (matrice J considérée cte.).

- Parallélisation :

méthode *multisplitting Newton* (\approx décomposition par blocs) :

- Un sous-domaine par nœud,
- Résolution d'un système plus petit sur chaque noeud.
- Solveur linéaire sur CPU ou GPU, sur chaque nœud.
- Communications après la résolution de chaque petit système



Ex 3 : application distribuée fortement couplée

Implémentation *synchrone* MPI+CUDA :

1. **CPU** : Calcul de J et du vecteur initial sur CPU chaque nœud
2. **Transfert** : copie sur GPU sur chaque nœud
3. Pour chaque pas de temps :
 - a. **Transfert** : transfert de vecteur CPU → GPU
 - b. **GPU** : résolution du système linéaire sur GPU
 - c. **Transfert** : transfert de vecteur GPU → CPU
 - d. **CPU** : mise à jour du vecteur local sur CPU
 - e. **MPI**: échange des dépendances (*Issend*, *Irecv*)
 - f. **CPU** : mise à jour complémentaire sur CPU
 - g. **MPI**: détection de convergence globale (*Gatherv*)

Implémentation *asynchrone* MPI+CUDA : en cours

Adaptation d'une méthode de calcul sur grille...

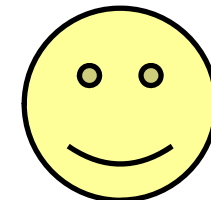
Plan

1. Principes de parallélisation sur cluster de CPU+GPU
2. Ex 1 : application distribuée *embarrassingly parallel*
3. Ex 2 : 1^{ère} application distribuée fortement couplée
4. Ex 3 : 2^{ème} application distribuée fortement couplée
- 5. Parallélisation simultanée sur CPUs et GPUs**
6. Performances
7. Mesures et modélisation énergétiques
8. Conclusion

Exemple de code OpenMP+CUDA

Expérimentation sur un code d'analyse de sous-sol par FFT à la **CGGVeritas** sur un nœud CPU+GPU :

- un thread OpenMP appelle les routines CUDA, les autres traitent les tâches sur des cœurs CPU,
- équilibrage de charge dynamique,
- nouveau temps d'exécution beaucoup plus faible.



Ça marche

Exemple de code MPI+Pthreads+CUDA

Expérimentation sur le solver d'EDP sur cluster de CPU+GPU :

- mesure de temps d'exécution sur 1 à 8 cœurs CPU,
- mesure de temps d'exécution sur le GPU,
- équilibrage de charge statique,
- mesure du nouveau temps d'exec. : gain très faible !
- recherche en cours de la source de perte de performance :
 - équilibrage de charge statique insuffisant ?
 - perturbation due à OpenMPI ?
 - ...

Ça ne marche
pas (encore) bien...



Plan

1. Principes de parallélisation sur cluster de CPU+GPU
2. Ex 1 : application distribuée *embarrassingly parallel*
3. Ex 2 : 1^{ère} application distribuée fortement couplée
4. Ex 3 : 2^{ème} application distribuée fortement couplée
5. Parallélisation simultanée sur CPUs et GPUs
6. Performances
7. Mesures et modélisation énergétiques
8. Conclusion

Performances – Pricer (1)

Comparaison en vitesse à un pgm séquentiel sur 1 cœur CPU

- Une **première méthode** de quantification les performances.
- En général on exhibe d'excellents résultats.
- Ex : pricer d'option exotiques Européennes

SU(16 nœuds GPU vs 1 cœur CPU) = 1636



Comparaison en vitesse à un pgm parallèle sur 1 nœud CPU multicoeurs

- Une méthode plus proche des préoccupations de l'utilisateur
- Les résultats chutent ☺
- Ex pour le pricer comparé à un CPU dual-coeur programmé en OpenMP:

SU(16 nœuds GPU vs 1 noeud CPU dual-coeur) = 707

**Chute de
plus de 50% (!)**

Performances – Pricer (2)

Comparaison en vitesse à un pgm // sur 1 cluster de CPU multicoeurs

- La méthode qui intéresse l'utilisateur d'un cluster de CPUs
- Les résultats chutent 😊
- Ex pour le pricer comparé à un cluster de CPU dual-coeur avec MPI+OpenMP:

SU(16 nœuds GPU vs 16 noeuds CPU dual-coeur) = 48

Comparaison de la précision des résultats

- Sur une nouvelle architecture, avec de nouvelles bibliothèques de calculs
→ il convient de comparer/vérifier la précision des calculs.
- Ex pour le pricer :
Pas de différences (précision identique avec les mêmes calculs)
Inutile de calculer plus de trajectoires de Monte-Carlo
- Ex pour un solver d'EDP :
Des différences : problème sensibles aux arrondis, à l'enchaînement des op...
Quel programme sur cluster de GPUs pour des résultats satisfaisants ?

Performances – Pricer (3)

Comparaison en énergie à un pgm // sur 1 cluster de CPU multicoeurs

- Celui qui paye les calculs peut y être très sensible ☺
- Le pgm le plus rapide est-il le plus économique ?
- Que prendre en compte pour mesurer la consommation énergétique ?
 - les nœuds utilisés
 - le switch du cluster Partiellement ou en totalité ?
 - la climatisation ? Si on peut isoler la partie concernant le cluster...
 - les serveurs de fichiers ?
- Ex pour le pricer comparé à un cluster de CPU dual cœur avec MPI+OpenMP:

**Cluster de 16 nœuds CPU dual cœur (dans un cluster de 256 nœuds) : 934.8Wh
en 992s**

**Cluster de 16 nœuds CPU+GPU : 16.4Wh
en 21s**

nœuds utilisés + switch en totalité (cluster utilisé en mode exclusif)

rmq : le switch dissipe 1720W

→ Gain énergétique d'un facteur 57, et gain en temps d'un facteur 48

Performances – Pricer (4)

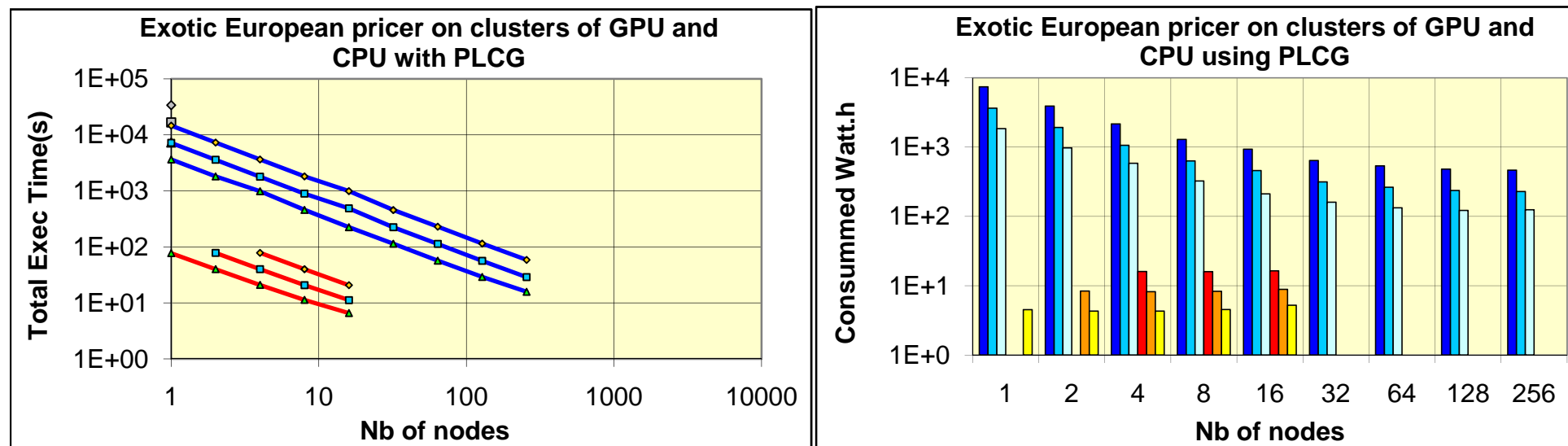
Point de fonctionnement optimal de chaque système (archi + pgm) ?

Faut-il comparer N nœuds CPU avec N nœuds GPU ?

Les points de fonctionnement optimaux pourraient être différents.

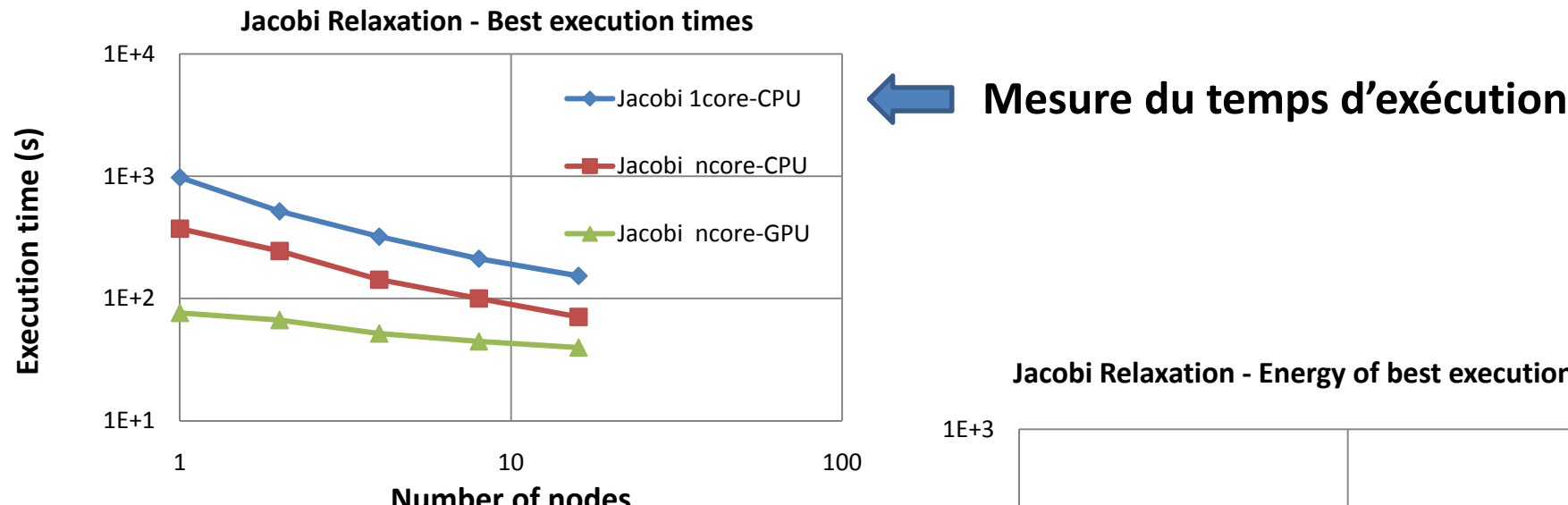
→ Comparer les **courbes de performances** des deux clusters

Ex du pricer : sans surprises car « *embarrassingly parallel* »

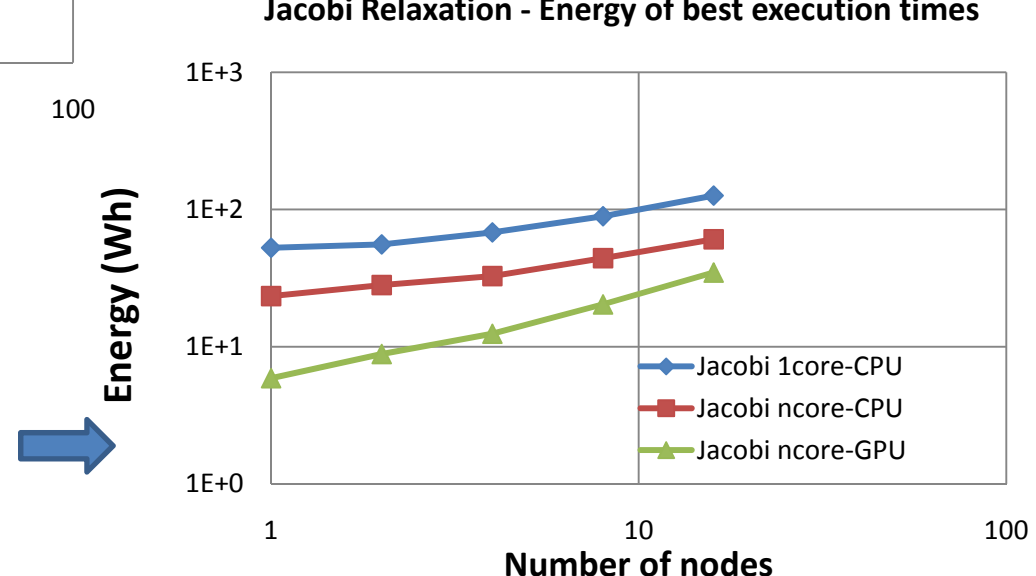


Performances – Relax. de Jacobi (1)

Performances de la relaxation de Jacobi (pb fortement couplé)

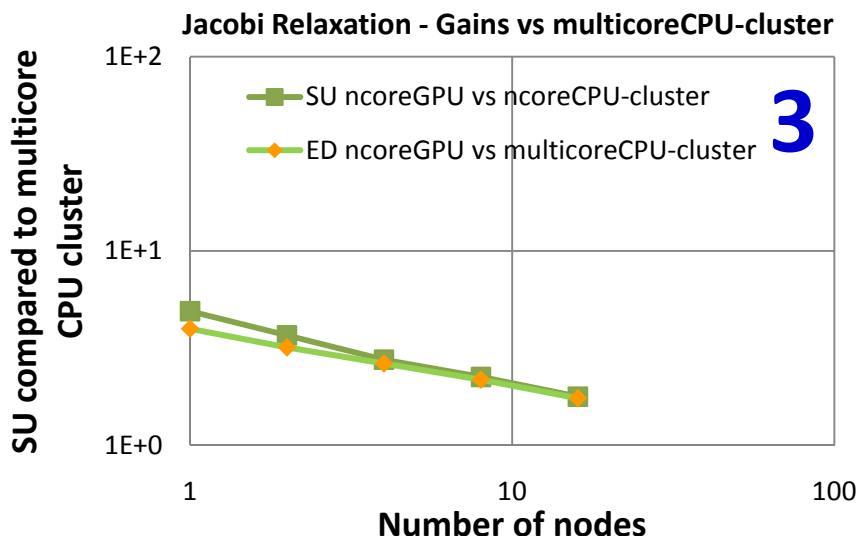
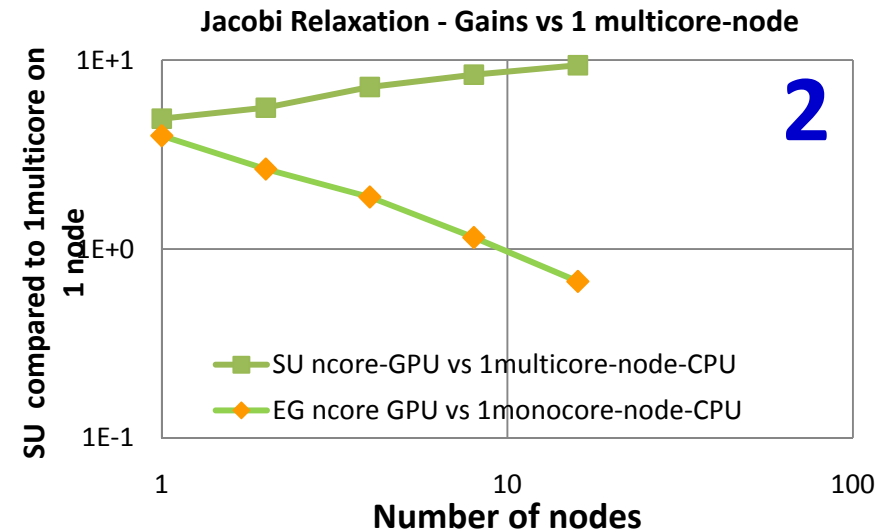
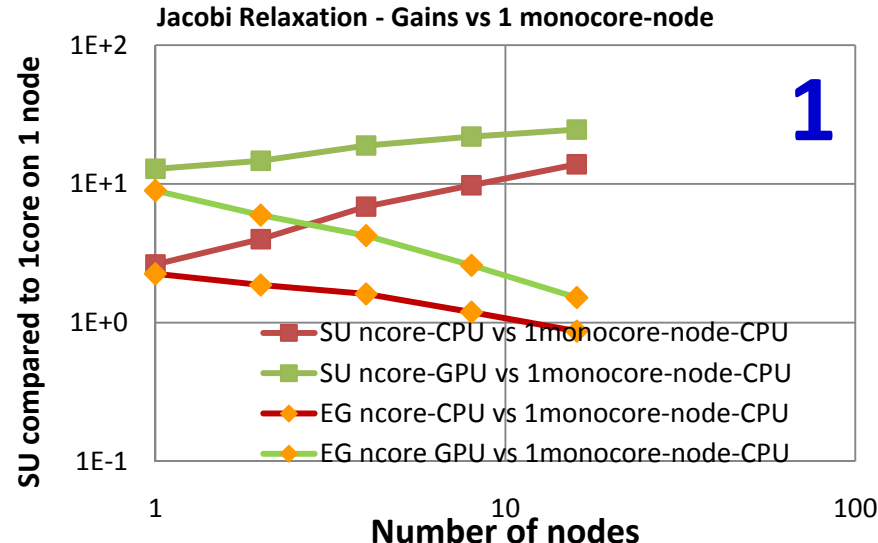


Mesures de l'énergie consommée



Performances – Relax. de Jacobi (2)

Performances de la relaxation de Jacobi (pb fortement couplé)



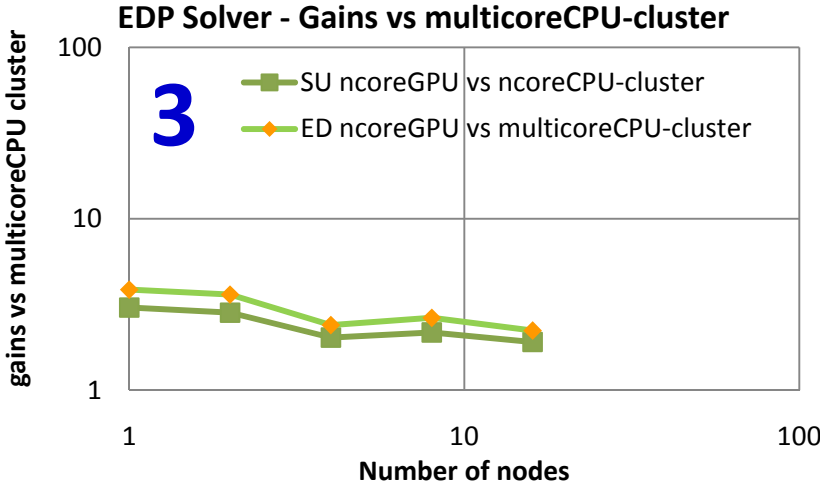
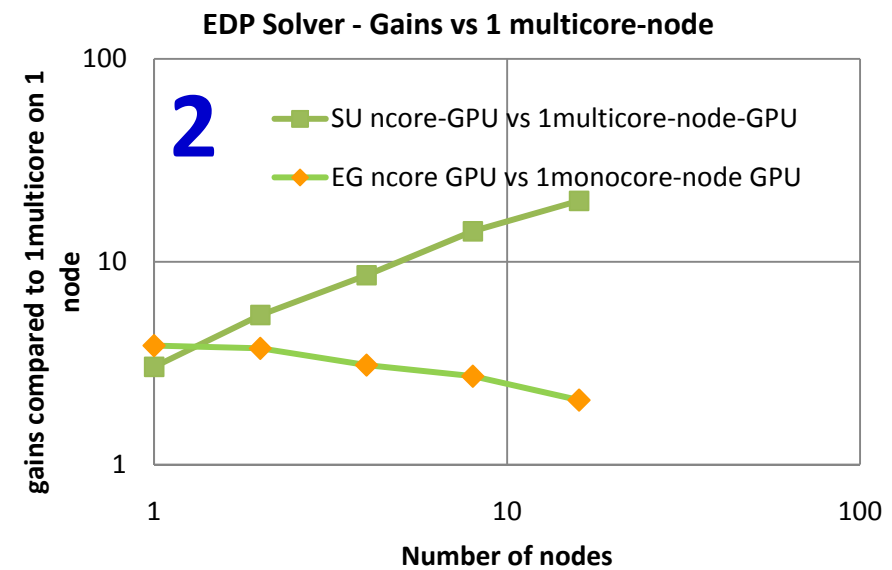
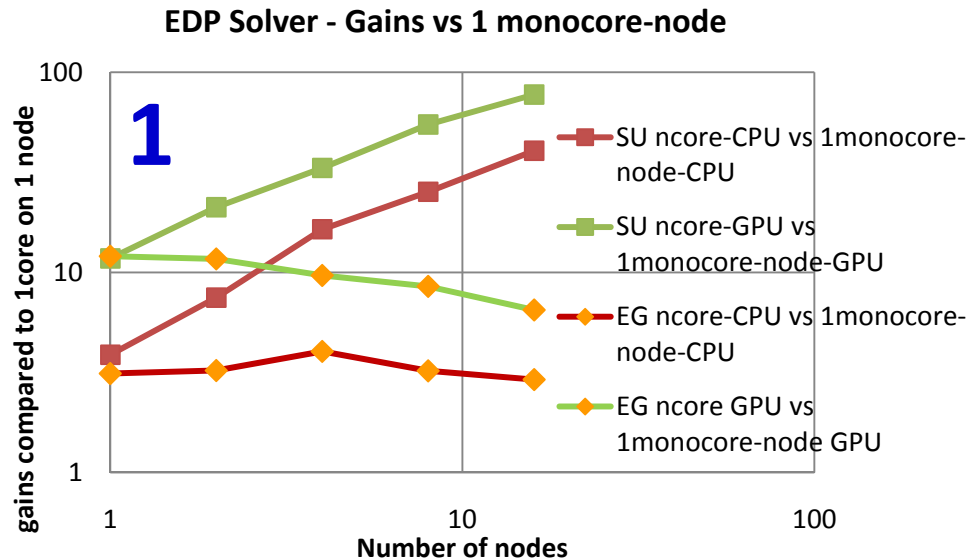
Bilan :

- problème distribué fortement couplé,
- bon comportement sur cluster de CPUs,
- bon comportement sur cluster de GPUs,
- comportements de plus en plus proches quand le nombre de nœuds augmente.

→ Résultats très différents du cas faiblement couplé.

Performances – Solveur EDP (1)

Performances du solveur d'EDP (pb fortement couplé)



Domaine 30x30x30, 2 espèces chimiques...

Au final, sur 16 nœuds le cluster de GPU (GT285) n'est que 1.85 fois plus rapide que le cluster de CPU (*Nehalem 4 cœurs hyperthreadés*)

→ **Motivation pour utiliser à la fois les CPUs et les GPUs!**

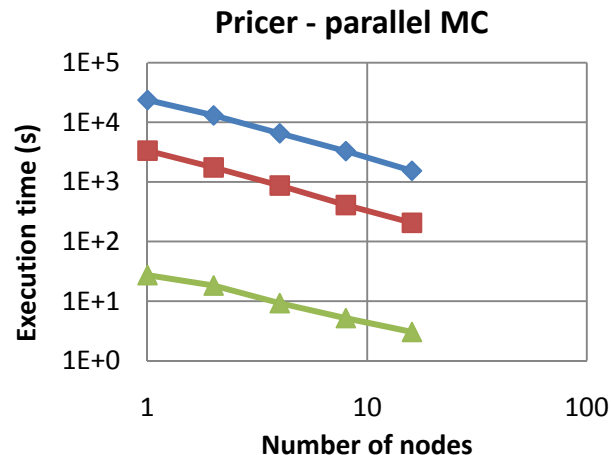
Plan

1. Principes de parallélisation sur cluster de CPU+GPU
2. Ex 1 : application distribuée *embarrassingly parallel*
3. Ex 2 : 1^{ère} application distribuée fortement couplée
4. Ex 3 : 2^{ème} application distribuée fortement couplée
5. Parallélisation simultanée sur CPUs et GPUs
6. Performances
- 7. Mesures et modélisation énergétiques**
8. Conclusion

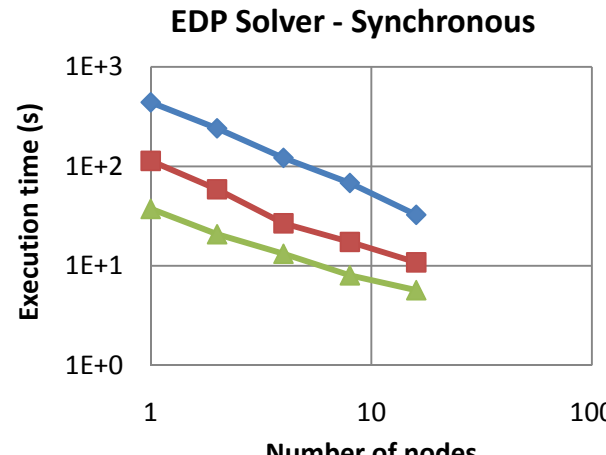
Considérations énergétiques

- Les GPUs consomment autant/plus de *puissance* (Watts) que les CPUs
 - *la puissance consommée d'un cluster de CPU+GPU augmentera (vs un cluster de CPUs)*
 - *attention : souscrire plus de puissance coûte plus cher!*
- En réduisant les temps d'exécution on peut consommer :
 - ✓ *moins d'énergie* (WattHeures) : plus rapide & plus éco
 - ✓ *autant d'énergie* (WattHeures) : plus rapide
 - ✓ *plus d'énergie* (WattHeures) : plus rapide & moins éco
- Les *performances relatives* d'un cluster de CPU multi-cœurs et d'un cluster de GPUs peuvent varier avec le nombre de nœuds, la taille du problème, l'algorithme...

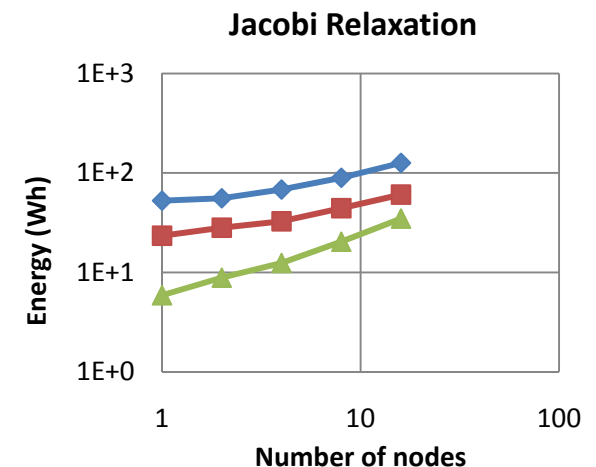
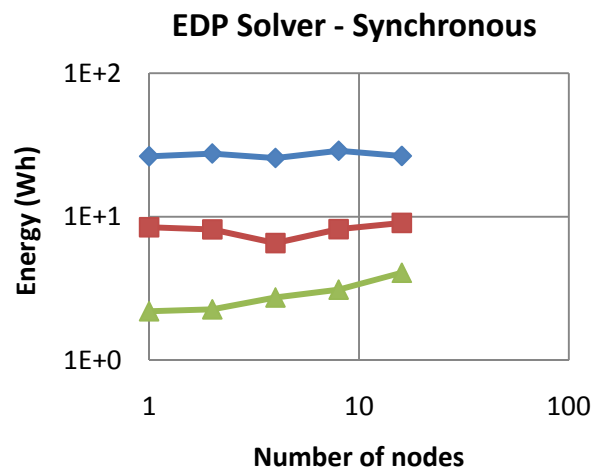
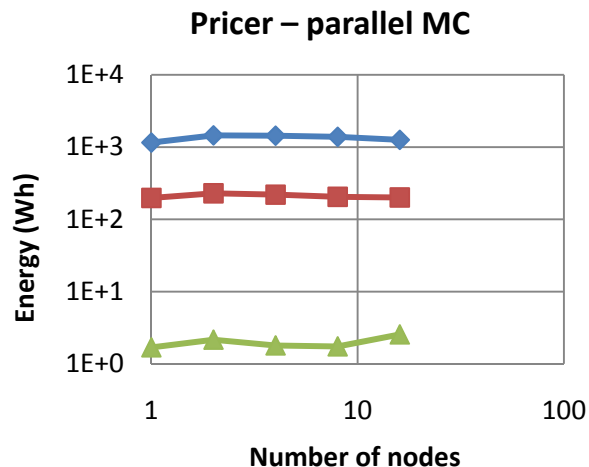
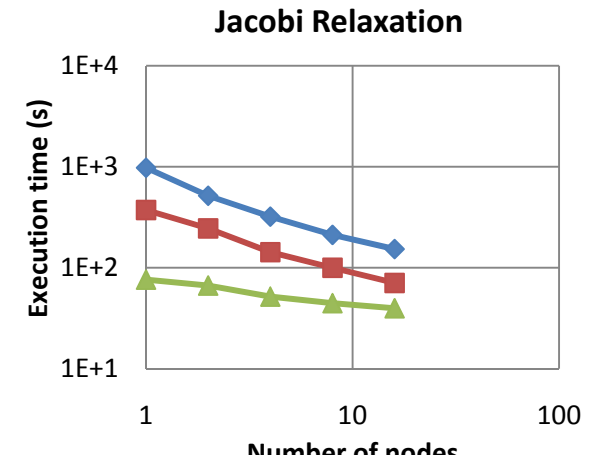
Considérations énergétiques



Monocore-CPU cluster



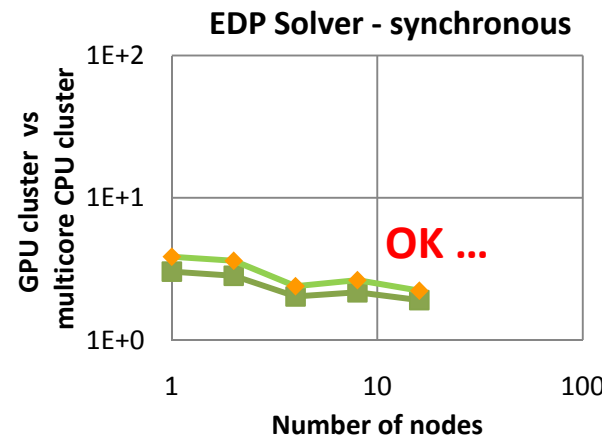
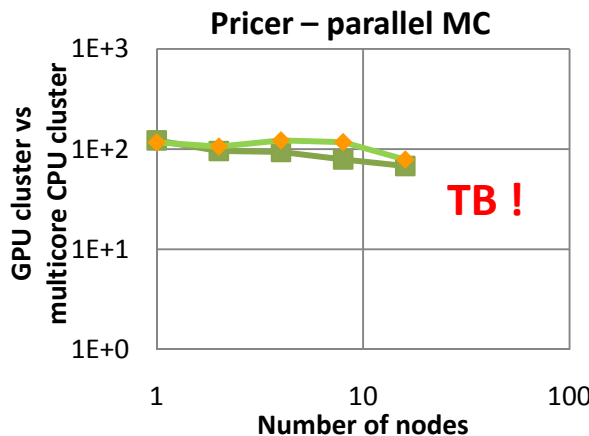
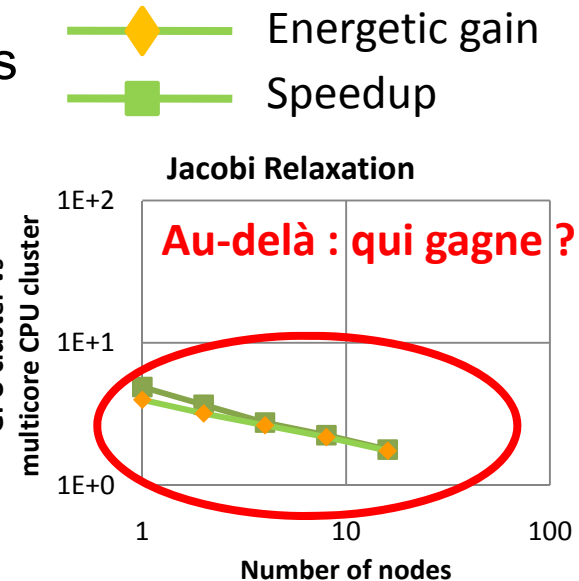
Multicore-CPU cluster



Considérations énergétiques

Quel est le cluster le plus intéressant ?

Gains : cluster de GPU *vs* cluster de CPU multi-cœurs



Hypothèse : si on suppose qu'il y a « scalabilité »

→ Modélisation ... (*publication en cours*)

→ Il existe des seuils de basculement d'intérêt entre clusters de CPUs et de GPUs : il faut choisir la solution optimale.



Plan

1. Principes de parallélisation sur cluster de CPU+GPU
2. Ex 1 : application distribuée *embarrassingly parallel*
3. Ex 2 : 1^{ère} application distribuée fortement couplée
4. Ex 3 : 2^{ème} application distribuée fortement couplée
5. Parallélisation simultanée sur CPUs et GPUs
6. Performances
7. Mesures et modélisation énergétiques
8. Conclusion

Conclusion

Cluster de CPUs mono-coeurs → MPI

Cluster de CPUs multi-coeurs → MPI ou

MPI + threads-CPU

Cluster de CPUs multi-coeurs + GPUs *many-coeurs* → MPI + threads-GPU ou

MPI + threads-CPU +
threads-GPU

Plus génériquement :

Clusters hétérogènes (ou hybrides) : noeuds "CPU+accélérateurs" (accélérateurs : unités SSE, GPU, Larabee, Cell, FPGA...)

→ Algorithmique parallèle multi-grains

→ Programmation parallèle multi-paradigmes

A ce jour : complexité de développement croissante, et performances pas toujours « aussi croissantes »

Perspectives

- Le « TOP5 » contient des machines hétérogènes
- "On ne passera pas l'Exaflops sans des architectures hétérogènes" ...
 - Développer l'algorithme multi-grains
 - Maîtriser la programmation multi-paradigmes
 - Développer de nouveaux environnements de programmation
- 2^{ème} machine Top500 : 1.0 Pflops et 2.3 Mwatts (avec accélérateurs)
1^{ère} machine Top500 : 1.7 Pflops et 6.9 Mwatts (sans accélérateurs)
- Difficile d'imaginer passer l'Exaflops sans optimisations énergétiques
 - Recherche d'architectures, de bibliothèques et de codes optimisés en vitesse, ou en énergie, ou visant un compromis.

Expérience de développement d'applications sur cluster de GPUs

Questions ?

Stéphane Vialle

SUPELEC équipe IMS & EPI AlGorille



Avec l'aide de L. Abbas-Turki, T. Jost , W. Kirshenmann, P. Mercier, S. Contassot-Vivier, L. Plagne